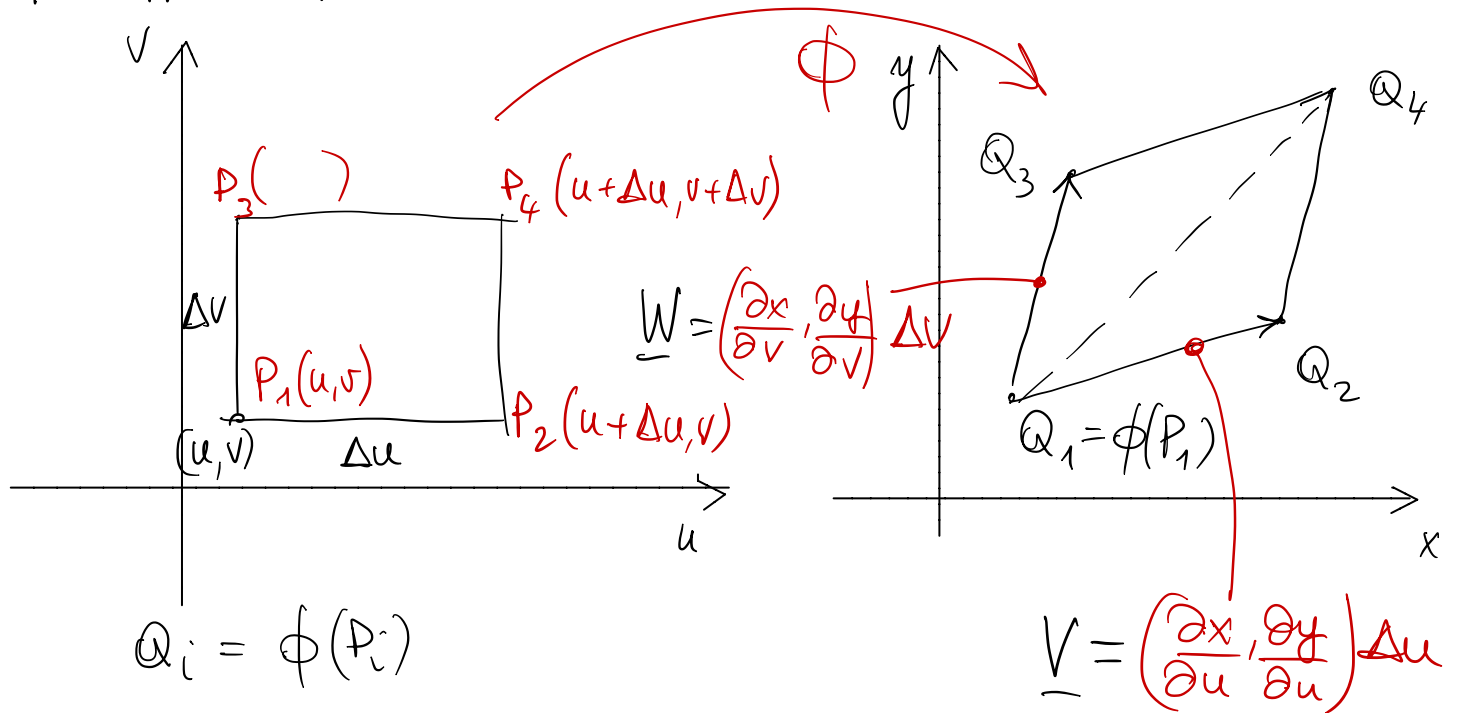


Cambiamento di coordinate negli integrali

$\phi: T \rightarrow D$ T, D domini regolari di \mathbb{R}^2
 ϕ diffeomorfismo di classe C^1 .



Se $\Delta u, \Delta v$ piccoli \Rightarrow calcolate in (u, v) .

$$Q_2 \cong Q_1 + \begin{pmatrix} \frac{\partial x}{\partial u} & \frac{\partial y}{\partial u} \end{pmatrix} \Delta u$$

$$Q_3 \cong Q_1 + \begin{pmatrix} \frac{\partial x}{\partial v} & \frac{\partial y}{\partial v} \end{pmatrix} \Delta v$$

$$Q_4 \cong Q_1 + \begin{pmatrix} \frac{\partial x}{\partial u} & \frac{\partial y}{\partial u} \end{pmatrix} \Delta u + \begin{pmatrix} \frac{\partial x}{\partial v} & \frac{\partial y}{\partial v} \end{pmatrix} \Delta v$$

Al rettangolo di area $\Delta u \Delta v$ corrisponde, dopo la trasformazione, un parallelogramma costruito sui vettori

$$\underline{V} = \begin{pmatrix} \frac{\partial x}{\partial u} & \frac{\partial y}{\partial u} \end{pmatrix} \Delta u, \quad \underline{W} = \begin{pmatrix} \frac{\partial x}{\partial v} & \frac{\partial y}{\partial v} \end{pmatrix} \Delta v$$

L'area del parallelogramma è data da

$$|\underline{V} \wedge \underline{W}| = \left| \det \begin{pmatrix} V_1 & V_2 \\ W_1 & W_2 \end{pmatrix} \right|$$

L'area del parallelogramma è data da

$$|\underline{V} \times \underline{W}| = \left| \det \begin{pmatrix} v_1 & v_2 \\ w_1 & w_2 \end{pmatrix} \right| =$$

$$= \left| \det \begin{bmatrix} \frac{\partial x}{\partial u} \Delta u & \frac{\partial y}{\partial u} \Delta u \\ \frac{\partial x}{\partial v} \Delta v & \frac{\partial y}{\partial v} \Delta v \end{bmatrix} \right| =$$

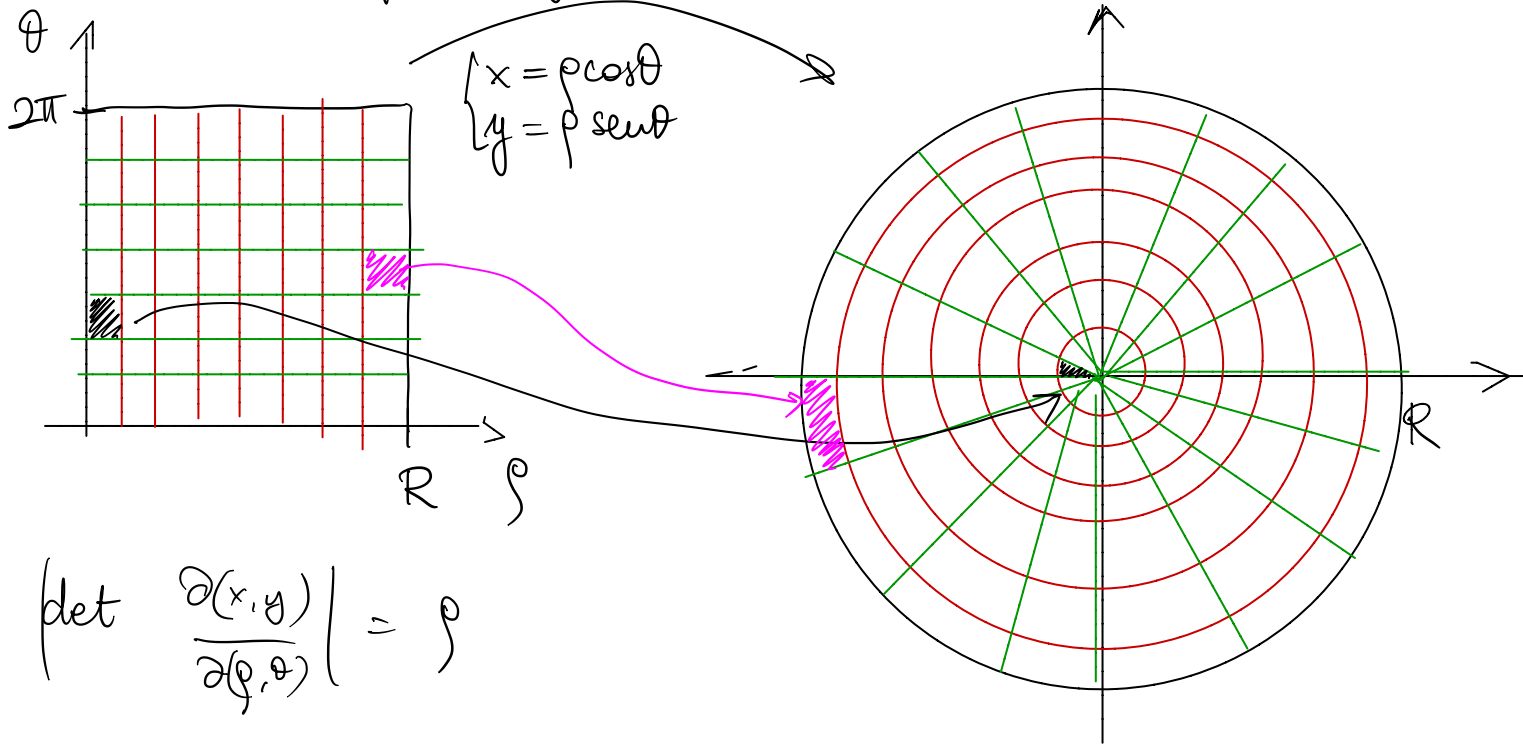
$$= \left| \det \begin{bmatrix} \frac{\partial x}{\partial u} & \frac{\partial y}{\partial u} \\ \frac{\partial x}{\partial v} & \frac{\partial y}{\partial v} \end{bmatrix} \right| \Delta u \Delta v =$$

$$= \left| \det \frac{\partial(x,y)}{\partial(u,v)} \right| \Delta u \Delta v.$$

Questo giustifica la presenza del det. Jacobiano nel cambiamento di variabile

Esempio: passaggio a coordinate polari

Esempio : passaggio a coordinate polari



OSS Perché in dim 1 non c'era il valore assoluto?

$$\int_{g(a)}^{g(b)} f(x) dx = \int_a^b f(g(t)) g'(t) dt$$

$$\phi = g$$

$$x = g(t)$$

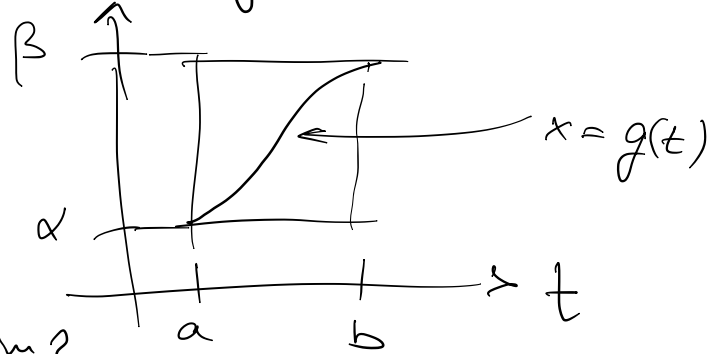
g di classe C^1
biettiva
 $g'(t) \neq 0$

$$g: [a,b] \rightarrow [\alpha, \beta]$$

1° caso $g'(t) > 0$

$$g(a) = \alpha$$

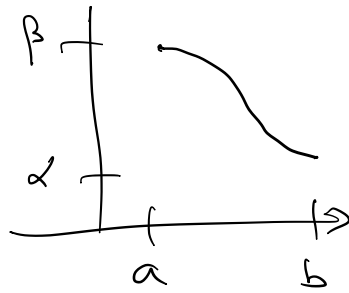
$$g(b) = \beta$$



In accordo con la formula in dim 2.

2° caso $g'(t) < 0$

La formula diventa



$$\int_a^b f(g(t)) g'(t) dt = \int_{g(a)=\beta}^{g(b)=\alpha} f(x) dx = - \int_{[\alpha, \beta]} f(x) dx$$

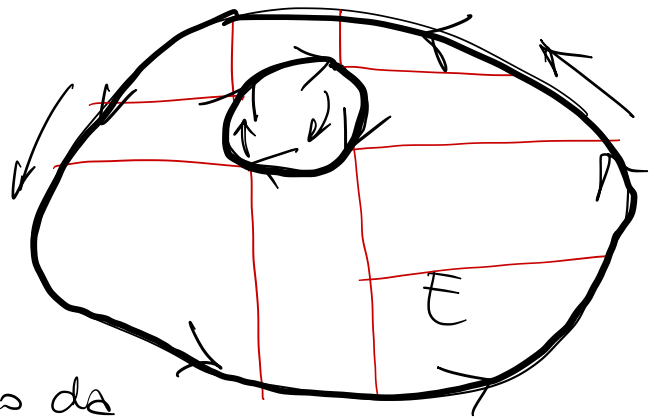
$$\Rightarrow \int_{[a,b]} f(g(t)) |g'(t)| dt = \int_{[\alpha, \beta]} f(x) dx$$

Quindi il valore assoluto c'era !!

Formule di Gauss-Green in dim. 2

E dominio regolare di $\mathbb{R}^2 \iff E$ unione di un numero finito di domini normali regolari, a due a due senza pti interni in comune.

OSS ∂E è unione di un numero finito di curve regolari.



Stabiliamo di orientare ∂E in modo da lasciare sempre E sulla sinistra.

TEOREMA (formule di Gauss-Green).

E dominio regolare di \mathbb{R}^2 , $f(x,y): E \rightarrow \mathbb{R}$ di classe $C^1(E)$ (fino al bordo!). Allora si ha:

$$1) \int_{\partial^+ E} f \, dy = \iint_E \frac{\partial f}{\partial x} \, dx \, dy$$

\hookrightarrow frontiera di E
orientata in verso positivo

$$2) \int_{\partial^+ E} f \, dx = - \iint_E \frac{\partial f}{\partial y} \, dx \, dy$$

dove $\partial^+ E$ è la frontiera di E percorsa nel verso "positivo".

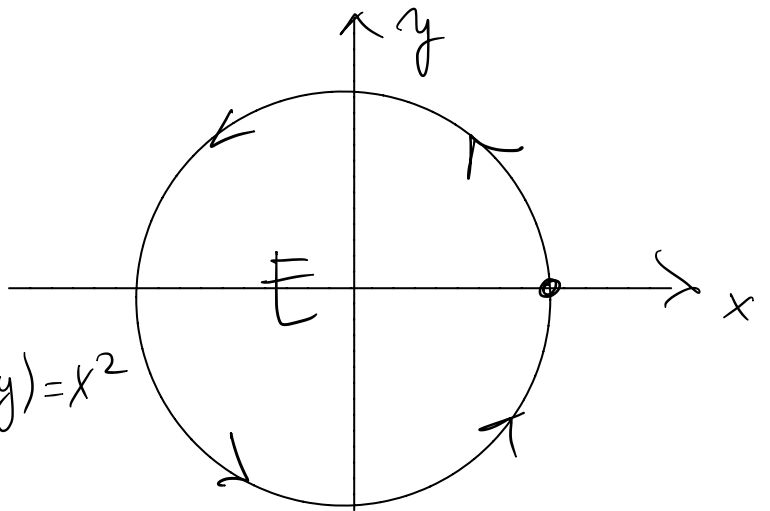
Esempio Sia E il cerchio unitario

$$E = \{(x,y) : x^2 + y^2 \leq 1\}.$$

Voglio calcolare $\iint_E x^2 dx dy$

$$\iint_E x^2 dx dy = \int_0^{2\pi} d\theta \int_0^1 dp \rho^3 \cos^2 \theta = \left(\int_0^{2\pi} \cos^2 \theta d\theta \right) \left(\int_0^1 \rho^3 d\rho \right) =$$

$$= \frac{\pi}{4}$$



OSS se prendo

$$f(x,y) = \frac{x^3}{3}, \text{ si ha } \frac{\partial f}{\partial x}(x,y) = x^2$$

Dalla ^{1a} formula di G-G.

$$\Rightarrow \iint_E x^2 dx dy = \int_{\partial^+ E} \frac{x^3}{3} dy \quad \partial^+ E \begin{cases} x = \cos t \\ y = \sin t \end{cases}$$

$$t \in [0, 2\pi]$$

$$\int_{\partial^+ E} \frac{x^3}{3} dy = \frac{1}{3} \int_0^{2\pi} \cos^3 t \cdot \cos t dt =$$

$$= \frac{1}{3} \int_0^{2\pi} \cos^4 t dt = \frac{1}{3} \int_0^{2\pi} \left(\frac{1 + \cos 2t}{2} \right)^2 dt =$$

$$= \frac{1}{12} \int_0^{2\pi} (1 + \cos^2(2t) + \cancel{2\cos 2t}) dt = \frac{1}{12} \int_0^{2\pi} \left(1 + \frac{1 + \cancel{\cos(4t)}}{2} \right) dt =$$
$$= \frac{1}{12} \cdot \frac{3}{2} \cdot 2\pi = \frac{\pi}{4}$$

COROLLARIO (Teorema di Stokes in dim. 2)

Sia $\omega = A(x,y)dx + B(x,y)dy$ una forma differenziale di classe $C^1(E)$. Allora.

$$\int_{\partial^+ E} \omega = \int_{\partial^+ E} A(x,y)dx + B(x,y)dy =$$

lavoro del campo $\underline{F}(x,y) = (A(x,y), B(x,y))$

$$= \iint_E \left[\frac{\partial B}{\partial x}(x,y) - \frac{\partial A}{\partial y}(x,y) \right] dx dy =$$

$$= \iint_E (B_x - A_y) dx dy = \iint_E \text{rot } \underline{F} dx dy.$$

In particolare, se \underline{F} è un campo irrotazionale (cioè $\text{rot } \underline{F} = 0$) definito su tutto E , allora

$$\Rightarrow \int_{\partial^+ E} \underline{F} \cdot \underline{T} ds = \int_{\partial^+ E} \omega = 0.$$

TEOREMA (Già visto, ma mai dimostrato)

Sia A un aperto semplicemente connesso di \mathbb{R}^2 , e sia \underline{F} un campo vettoriale di classe $C^1(A; \mathbb{R}^2)$ irrotazionale.

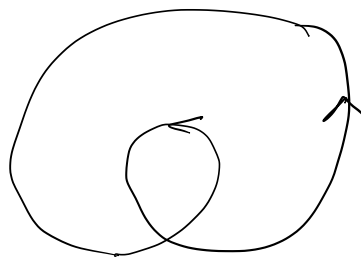
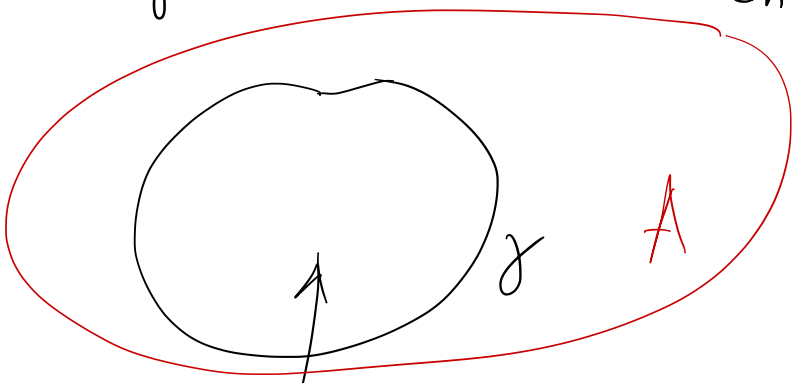
Allora \underline{F} è conservativo.

Equivalentemente, se ω è una f.d. di classe $C^1(A; \mathbb{R}^2)$ chiusa, allora è esatta.

DIM. Basta provare che il lavoro di \underline{F} lungo una qualsiasi curva chiusa vale zero.

In realtà basta provarlo per tutte le curve chiuse e semplici (curve di Jordan), in quanto ogni curva chiusa si può "scomporre" in curve di Jordan.

Sia γ una tale curva di Jordan



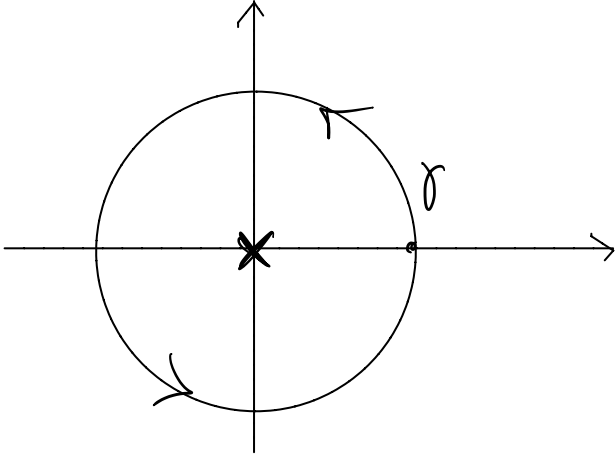
Considero E il dominio delimitato da γ . Poiché A è semplicemente connesso, $E \subset A$

$$\int_{\gamma} \underline{F} \cdot \underline{T} \, ds = \pm \int_{\partial^+ E} \underline{F} \cdot \underline{T} \, ds = \quad [\text{per Stokes}]$$

$$= \pm \iint_E \text{rot } F \, dx dy = 0.$$

DSS. Se A non è semplicemente connesso, ci sono curve di Jordan contenute in A ma tali che il dominio E delimitato da γ non sia tutto in A

Es. $A = \mathbb{R}^2 \setminus \{(0,0)\}$ $\gamma =$ circonferenza unitaria



COROLLARIO (anche questo già visto).

Sia A un aperto connesso con una lacuna (Es: $\mathbb{R}^2 \setminus \{(0,0)\}$).

Quindi A non è semplicemente connesso.

Sia \underline{F} un campo vettoriale irrotazionale in A , di classe $C^1(A; \mathbb{R}^2)$

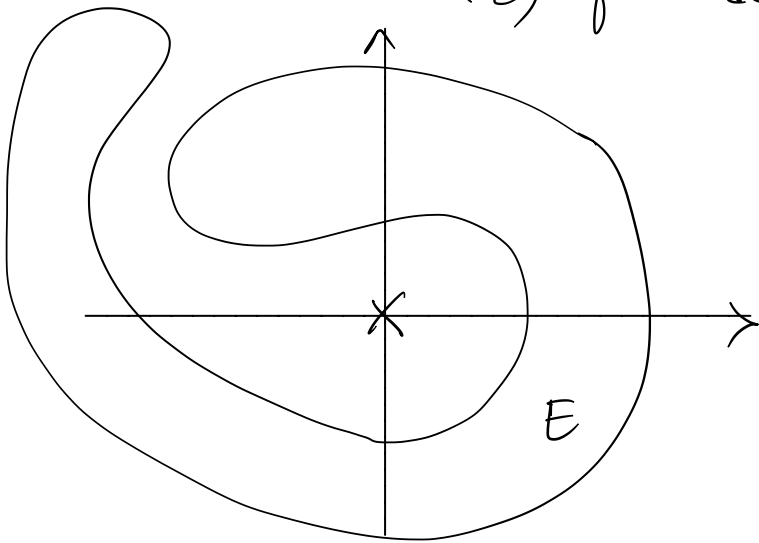
Se esiste una curva γ_0 di Jordan contenuta in A che gira intorno alla lacuna e t.c. il lavoro di \underline{F} lungo γ_0 sia nullo, allora il campo \underline{F} è conservativo.

Dim (Per semplicità $A = \mathbb{R}^2 \setminus \{(0,0)\}$)

Sia γ una qualsiasi curva di Jordan contenuta in A .

due casi:

- 1) γ non attacca l'origine
- 2) γ attacca l'origine



Nel caso 1), è facile
 \Rightarrow prendo E delimitato da γ
e applico Stokes
 $\Rightarrow \int_{\gamma} \underline{F} \cdot \underline{T} ds = 0.$

Nel caso 2)

Nel caso 2)

Sia E la corona
contenuta tra le
due curve
Stokes,

$$\int_{\partial^+ E} \underline{F} \cdot \underline{T} \, ds = 0.$$

$$\Rightarrow \int_{\gamma} \underline{F} \cdot \underline{T} \, ds = \int_{\gamma_0} \underline{F} \cdot \underline{T} \, ds = 0$$

Se le due curve si intersecano,

le confronti entrambe con
una curva molto più
grande

